

# 1 Résolution directe avec différents schémas

Pour cette comparaison des différents schéma d'intégration pour la résolution directe du problème de dynamique, nous avons choisi d'implémenter 3 schémas d'intégration : le schéma implicite d'Euler à un pas, le schéma explicite des différences centrées et le schéma de Newmark plus général (en effet le schéma des différences centrées est un schéma de Newmark).

## 1.1 Le schéma implicite d'Euler

Nous avons choisi d'implémenter le schéma implicite d'Euler à un pas or l'équation de la dynamique est  $\underline{M}\ddot{\underline{X}} + \underline{K}\underline{X} = \underline{F}(t)$  donc pour utiliser un schéma à un pas ce système doit être modifier. Pour cela, on introduit un vecteur  $\underline{Q}$  tel que :

$$\underline{Q} = \left\{ \begin{array}{c} \underline{X} \\ \underline{\dot{X}} \end{array} \right\}$$

Ce qui conduit au système suivant, du premier ordre par rapport à  $\underline{Q}$  :

$$\left( \begin{array}{cc} \underline{Id} & 0 \\ 0 & \underline{M} \end{array} \right) \left\{ \begin{array}{c} \underline{\dot{X}} \\ \underline{\ddot{X}} \end{array} \right\} + \left( \begin{array}{cc} 0 & -\underline{Id} \\ \underline{K} & 0 \end{array} \right) \left\{ \begin{array}{c} \underline{X} \\ \underline{\dot{X}} \end{array} \right\} = \left\{ \begin{array}{c} 0 \\ \underline{F}(t) \end{array} \right\}$$

On écrit ensuite le schéma implicite d'euler de la façon suivante :

$$\underline{\dot{Q}}_{n+1} = \frac{\underline{Q}_{n+1} - \underline{Q}_n}{\Delta t}$$

On peut donc obtenir l'expression de  $\underline{Q}_{n+1}$  en fonction de  $\underline{Q}_n$  :

$$\begin{aligned} \underline{\tilde{M}} \cdot \underline{\dot{Q}}_{n+1} + \underline{\tilde{K}} \cdot \underline{Q}_{n+1} &= \underline{\tilde{F}} \\ \Rightarrow \underline{Q}_{n+1} &= \left( \underline{\tilde{M}} + \Delta t \underline{\tilde{K}} \right)^{-1} \cdot \left( \Delta t \underline{\tilde{F}} + \underline{Q}_n \right) \end{aligned}$$

Grâce à cette expression, il est possible de résoudre l'équation de la dynamique. Ce schéma est particulièrement intéressant car il est inconditionnellement stable.

## 1.2 Résultats

Les résultats de la Figure 1 ont été obtenus pour le schéma implicite d'euler pour  $\Delta t = 0.01 \text{ s}$  avec une poutre de longueur  $L = 500 \text{ m}$  (afin de pouvoir observer les réflexions) avec 160 éléments dans la longueur. L'effort  $F = 10000 \text{ N}$  est appliqué entre  $t=0.2\text{s}$  et  $t=0.4\text{s}$ .

Les réflexions de l'onde au niveau des extrémités de la poutre sont bien visibles sur la Figure 1. Il est également possible de voir que l'amplitude des réflexions diminue au cours du temps. Cette constatation est confirmée par la Figure 1.2 qui représente l'énergie totale du système en fonction du temps (Energie cinétique + énergie de déformation). Cette énergie diminue au cours du temps, alors que l'on s'attend à ce que cette énergie soit constante pour  $t > 0.4\text{s}$  car notre système n'est pas un système dissipatif, en effet nous avons négligé l'amortissement dans l'équation de la dynamique. Cette diminution de l'énergie totale du système est un problème bien connu du schéma d'Euler implicite. Pour diminuer ces effets de dissipation du schéma numérique, il faut diminuer  $\Delta t$ . La Figure 1.2 permet d'illustrer cela, en effet le graphique de droite provient du calcul avec  $\Delta t = 0.01 \text{ s}$  présente une atténuation de l'énergie plus importante que le graphique de droite provenant du calcul avec  $\Delta t = 0.005 \text{ s}$ . Mais la diminution de  $\Delta t$  va entraîner une augmentation du temps de calcul. La Figure 1.2 permet de voir que l'augmentation du temps de calcul croît beaucoup plus vite que l'erreur relative sur la valeur finale de l'énergie totale ne diminue. Ce qui veut donc dire que pour avoir une atténuation faible il va falloir avoir un  $\Delta t$  vraiment très petit et donc un temps de calcul trop important. On voit donc apparaître ici une des limites du schéma implicite d'Euler à un pas.

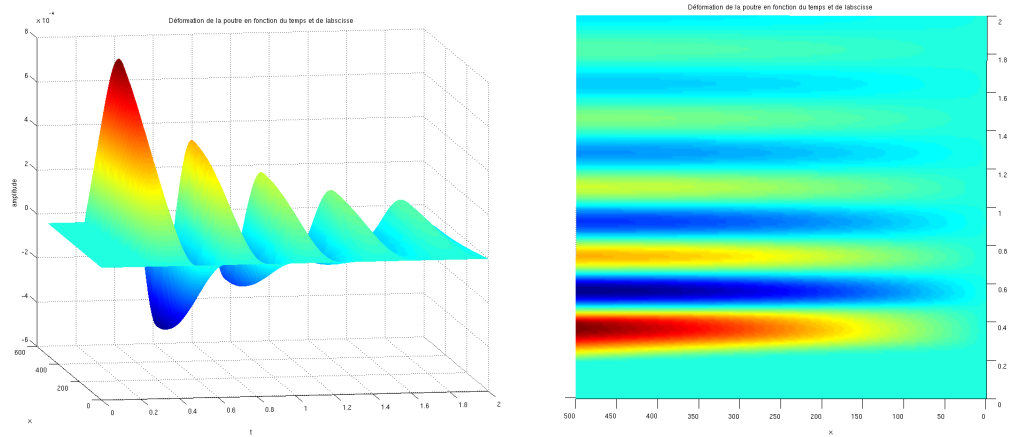


FIG. 1 – Déformation de la poutre en fonction du temps et de l'espace

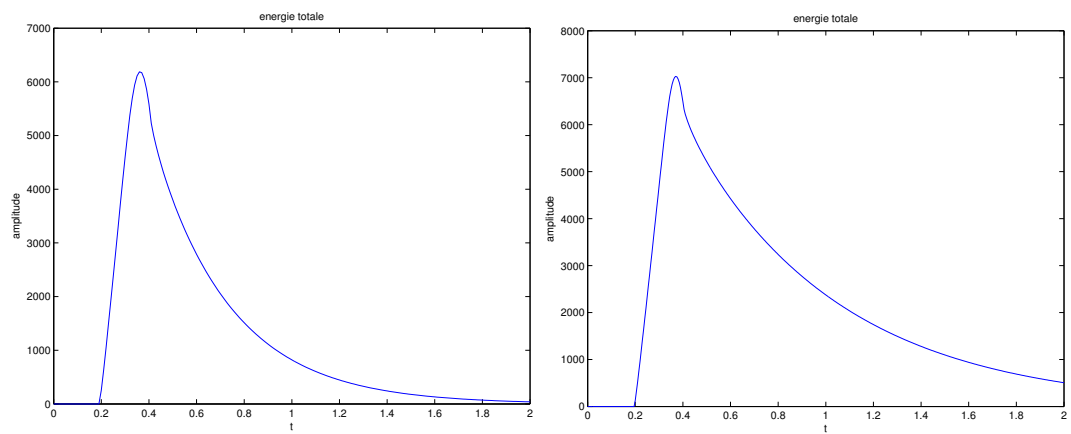


FIG. 2 – Evolution de l'énergie totale du système en fonction du temps (à gauche pour  $\Delta t = 0.01$  s et à droite pour  $\Delta t = 0.005$  s)

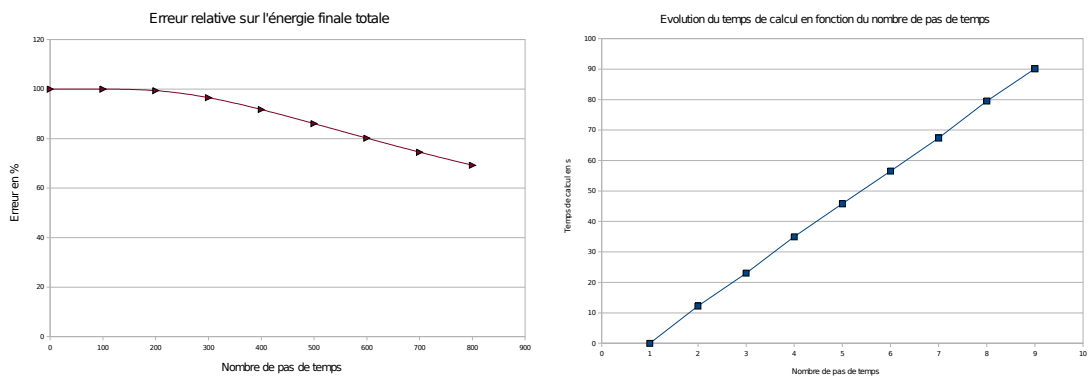


FIG. 3 – Evolution du temps de calcul (à gauche) et de l'erreur relative sur la valeur de l'énergie totale finale (à droite) en fonction du nombre de pas de temps